

## هل جوائز نواة القص المصبوبة بالمكان في الأبنية العالية

### ANALYSIS OF SHEAR CORE MEMBERS CAST IN PLACE IN HIGH RISE BUILDINGS

د/ عبد الرحمن عيسى - قسم الهندسة الإنشائية - كلية الهندسة المدنية - جامعة البعث - سوريا

#### **Abstract:**

This research was conducted to elucidate the role of shear core members in resisting horizontal forces in high rise buildings. The structural analysis of such forces and the stresses created in the different elements due to these forced are extensively investigated and definite conclusions were reached.

**ملخص البحث:**

إن التطور السريع تطلب البحث عن المزيد من مواد وتقنيات عالية وتركز السكان في المدن أدى إلى توسيع أفقى وقلص المساحات الخضراء وساعد الحكومات إلى التوجيه نحو الأبنية العالية. هذه الأبنية يمكن أن تخدم لأهداف كثيرة لفترات طويلة (أبنية سكنية) لفترات قصيرة (فنادق - مستشفيات) إضافة إلى الأغراض التجارية والإدارية. ولما كان نواة القص المركزية الدور الهام في الأبنية العالية تضمن بصلابتها قوة وسلامة الهيكل الإنساني هذا البحث يهدف لحساب القوى المحورية في نواة القص المصبوبة في المكان من جراء تعرضها للحمولات الأفقية واقتراح الطريقة لطها.

		الرموز والمصطلحات
$M$	عزم الانعطاف في الجائز من زاوية دوران أحادية في المسند	ارتفاع الطابق
$M_i$	عزم الانعطاف في الجائز من انتقال المسند مقدار ( $x$ )	طول جائز الفتحة
$N$	عدد طوابق البناء	المسافة بين مركزي نقل الجذعين $p_i$
$\delta$	مقدار انتقال جوائز الفتحات	صلابة جائز العتبة على الانعطاف للجذعين $i, p$
$\ell_f$	مجاز السقف ويحدد من شروط الوثاقة	عامل يحدد مقدار الازاحة في العتبات
$(EA_{rod})_f$	الصلابة اليدانية للأستف	عامل حدي لتخفيف عامل الانتقال في حالة التشغقات
<b>١ - مقدمة:</b>		قدرة القسم للجذع $i,p$
تلعب نواة القص دوراً هاماً في الأبنية العالية التي		عزم الانعطاف الحدي
تؤمن صلابة ومتانة المنشأ بكامله وحساب القوى		عامل البارونة الحدي
المحورية تؤدي بدورها لتخفيف قيمة العزوم في		زاوية الاختلاء
جدار النواة وتسمح بتقليل المواد المستخدمة كالحديد		الانتقال
		ارتفاع جائز الفتحة
		انتقال أفقى
		لا مركزية
		معامل يونغ $E$ عزم العطالة
		مقدار زاوية الدوران في الوثائق الوهمية

$$S_u = \frac{h\gamma\gamma_u}{12B}, \quad r = 1 + 2.95 \left( \frac{d}{l} \right)^2 + 0.02 \left( \frac{d}{l} \right) \quad (2)$$

ثانياً: حسب نواة القص بإدخال مكان  $S_u$  المحسوب من المعادلة:

$$S_u = \frac{h\gamma\gamma_u}{12B} \quad (3)$$

العامل الحدي  $S_u$  نحصل على قيمة جديدة لقوة القص وزاوية انحناء جدار النواة  $\alpha_2$  تحدد من التغيرات التي تحدث من وانتقال العينات والجدران المت嫁ورة.

$$\alpha_2(x) = S_u Q_{ip}(x) \quad (4)$$

ونحدد أيضاً:

$$\alpha_2(x) = S_u Q_{ip}(x) = \frac{\delta}{l} \quad (5)$$

$$\delta = S_u Q_{ip} l \quad (6)$$

ومن الشكل (a-2) نجد أن:

$$\frac{\Delta}{d} = \frac{\delta}{l + \Delta} \Rightarrow \Delta^2 + \Delta l - d\delta = 0$$

ونحصل على الانتقال الأفقي:

$$\Delta = \frac{\sqrt{l^2 + 4d\delta} - l}{2}$$

بوضعها في (6):

$$\Delta(x) = \frac{\sqrt{l^2 + 4dS_u Q_u l} - l}{2} \quad (7)$$

فإذا كانت النواة بدون أسقف داخلية فإن مقاومة الانتقال الأفقي في هذه الحالة يتم من جدران النواة، المحسوبة من (7) تعتبر متساوية لانتقال الجذعين "P" و "T".

$$\Delta(x) = \Delta_{P(x)} + \Delta_{T(x)}$$

$$\Delta_{...} = \frac{(E_w)}{EI_w} \cdot \Delta(x)$$

و  
7-a

وغيره من المواد التي يتم استيرادها واستخدامها وبالتالي تخفيض التكلفة الاقتصادية للمنشأة.

٢- موجز عن التحليل الإنشائي للأبنية العالية:  
إن تحليل مختلف الطرق للعناصر الحاملة للأبنية العالية بوجود نواة وجدران قص يسمح بوجود عدة طرق وحلول:

النوع المنقطع. النوع المستمر. النوع المختلط.  
ودقة هذه الحلول يتعلق بدقة المعطيات والفرضيات والأكثر وانتشاراً للحساب هو النوع المختلط الذي تتحسب العناصر الشاقولية الحاملة للهيكل بشكل منقطع وباتصالات مركزية موزعة بصورة منتظمة ومتقطعة على طول ارتفاع النواة. الشكل ١/١. هذا النوع من الحلول يسمح بحساب عيوب ونواقص التوزيع الأول والثاني وقد وضعت هذه الطريقة من قبل العالم درازدوف أ. ف. ب. تظهر التشققات في جوانز وفتحات الأبنية (النواة القص) عند تعرضها إلى حمولات أفقية كبيرة. محدثة انتقالات أفقية في جدران النواة وجوائزها وتؤدي بدورها إلى ظهور التشققات.

٣- حساب القوى المحورية:  
تحسب القوى في المرحلة المرنة الذي نحصل منها على قوى القص الأعظمية  $Q$  في جوانز الفتحات ومنها نجرب هل ظهرت التشققات أم لا ومن شروطها الحدية (رموز ومصطلحات):

$$M_u = \frac{Q_u \ell_u}{2} < M_0 \quad (1)$$

بداية يتم الحساب في المرحلة المرنة وندق حساباتنا ظهرت التشققات أم لا. ففي حالة عدم وجودها يعني هذه القوى غير موجودة وفي حالة وجودها نكرر الحساب ونحدد الخواص الحدية لجميع العناصر في جوانز الفتحات منها خواص الليونة الحدية :

$$X_n = \frac{H}{R_b t} \quad (12)$$

وفي حالة التسلیح المتاظر لجوانز الفتحات؛ ومن حساب  $\Delta_n$  بالمعادلة (11) نحصل على القوى المحورية نحسب مقدار ( $X_n$ ) نحدد القوى المحورية مع حساب الپیتون المضغوط  $H_{ip}$  وذراع تأثيرها يحدّد:  $e_{ip} = d - S_u \cdot Q_u b_u - X_n$  (13) بعدها نحدد عزوم الانعطاف في الجوانز وبحساب القوى المحورية من 13 يوجد أسقف داخلية فإن القوى المحورية من انتقال الجوانز تمنصها جدران النواة وأسقفها الداخلية تلعب دور مثبت ومانع للانتقال الأفقي.

ومن (10) نحصل على قيمة جديدة لعزوم الانعطاف وقوى القص في جوانز الفتحات:

$$Q_{n,cr} = \frac{2M_{n,cr}}{h\ell} \quad (14)$$

وبحساب الپیتون المضغوط والانتقال المتاظر للجدران في النواة:  $\Delta_{n,p} = 2 \cdot \Delta_n \left( 1 - \frac{X_n}{d} \right)$  (16)

وبافتراض أن الأسقف الداخلية تتعرض للشد من جراء انتقال العتبات بمقدار ( $\Delta_{n,p}$ ) فإن القوى الناظمة في الأسقف تساوي:

$$H_F = \frac{\Delta_{n,p}}{\ell_F} = (EA_{red})_F \quad (17)$$

وأن القوى  $H_F$  تنتقل إلى العتبات بذراع قدره  $e_F$  ونحدد من (9) وبوضع مكان  $Q_u$  القيمة  $Q_{u,F}$  للأسقف وقيمة عزم الانعطاف من جديد ينقص من جراء مساهمة الأسقف الداخلية في العمل مع العتبات:

$$M_{n,F} = M_{n,w} - H_F \ell_{ip,F} \quad (18)$$

وتنخفض القوى القاسية في الجوانز بمقدار.

$$Q_{ip,F} = \frac{2M_{n,F}}{h\ell} \quad (19)$$

حيث  $\Delta_{n,p}$  يساوي:

في حالة الجدران المتتساوية

$$\Delta_i(x) = \frac{\Delta(X)}{2} = \frac{\sqrt{\ell^2 + 4dS_n Q_{ip} \ell} - \ell}{4}$$

من القيمة  $\Delta_{i(x)}$  للجدار (i) والذي يمكن اعتباره كجائز مستمر موثقة من طرف وانتقال معطى لمساندة شكل (3-a). ومن طريقة الانتقالات:

$$M_{11}\varphi_1 + M_{12}\varphi_2 + \dots + M_{1n}\varphi_n + M_{1c}^0 = 0 \quad (8)$$

$$M_{21}\varphi_1 + M_{22}\varphi_2 + \dots + M_{2n}\varphi_n + M_{2c}^0 = 0$$

$$M_{n+11}\varphi_1 + M_{n+12}\varphi_2 + \dots + M_{n+1n}\varphi_n + M_{n+1c}^0 = 0$$

تحدد هذه المقادير تحديد بالقيم التالية:

$$M_{1c}^0 = \frac{8EI}{h}, \quad M_{2c}^0 = \frac{2EI}{h},$$

$$M_{1,n+1}^0 = \frac{7EI}{h}, \quad M_{n+1c}^0 = \frac{6EI}{h^2}$$

$$M_{2c}^0 \frac{6EI}{h} (\Delta_1 - \Delta_3),$$

$$M_{n+1,c}^0 = \frac{3EI}{h^2} (2\Delta_{n-2} - \Delta_{n-1} - \Delta_n)$$

تحل مجموعة المعادلات ببرنامج (DEGLG) نحصل على  $\varphi_i$  و عزوم الانعطاف والقوى الناظمة؛ في الجدار (i) و رد فعل المساند التي تعتبر قوى محورية مجهولة للطابق  $H_{ip}$  وذراع تأثير القوى المحورية ( $e_{ip}$ ) يحدد كالتالي:

$$e_{ip} = d - S_u Q_u \cdot \ell \quad (9)$$

من حساب هذه القوى فإن هذه عزوم الانعطاف في الجوانز تنقص بالقيمة التالية:

$$M_{n,w} = M_n - H_F e_{ip} = Q_u \frac{h\ell_{ip}}{2} - H_F e_{ip} \quad (10)$$

وبالتالي وبحساب القوى المحورية ينقص عزوم الانعطاف والقوى القاسية في نقاط الانتقال وتؤدي إلى زيادة صلابة نواة القص إلا أنه بانتقال الجوانز والمقاومة التي تبديها جدران النواة، تحدث مناطق مضغوطية تؤدي إلى نقصان المقدار ( $\Delta$ ) القوى المحورية ومن خطط تغيرات الجوانز:

$$\Delta_n = \Delta_i \left( 1 - \frac{X_n}{d} \right) \quad (11)$$

حيث  $X_n$  ارتفاع المنطقة المضغوطة تحدد  $X_n$  من حساب القوى  $H$  وبدون حساب الپیتون المضغوط:

$$M_{i,n} = B_{ip} \left( \frac{M' - \sum_{j=1}^n N_j Y_j}{B_s} + \frac{Y_i T}{B_{sp}} \right) \quad (28)$$

## النتائج والتوصيات

- ١- إن استخدام الطريقة الهندسية المقترحة تؤدي إلى توفر المواد المستخدمة وذلك بتخفيض كمية العزوم التي بدورها تؤدي إلى تقليل المواد.
- ٢- إن إيجاد القوى المحورية تؤدي بدورها إلى معرفة العزوم بصورة نهائية في جوانز العتبات.
- ٣- إن إثراك القوى المحورية لجوانز للعتبات التي لم تشرك لوحظ دورها الهام في نواة القص وجدرانها.
- ٤- دقة الطريقة المقترحة تعتمد على دقة الفرضيات ولوحظ تطابقها مع عدة طرق مماثلة.
- ٥- إن طبيعة الوثاقة للأسقف الداخلية مع نواة القص لها دورها الكبير في مقدار الانتقال الأفقي.

## المراجع

١. ب. ب. د. ديميتروف؛ أن. اي. بريصنكوف. تصميم وحل الأبنية العالمية مع نواة القص، موسكو - ١٩٨٤.
٢. ب. ف. درازدوف، ا. ا. خمرالييف، الجوانز المسبيقة الإجهاد والفتحات في نواة وجدران القص للأبنية العالمية؛ المؤتمر العاشر استوكهولم - موسكو - ١٩٨٢.
٣. ب. ف. درازدوف، أن. اي. سينين تدبر خواص العناصر لنواة القص المركزية؛ مجلة العمارة والبناء؛ موسكو - ١٩٨٣. عدد ١١/.
٤. ب. ف. درازدوف، ألم. اي. دادونف؛ أن. اي. باشينيان ا. ل. صاروخانيان؛ حل وتصميم عناصر الأبنية السكنية متعددة الطوابق؛ موسكو ١٩٨٦.
٥. أن. اي. سينين . عيسى عبد الرحمن عبد الله؛ حساب القوى المحورية لنواة القص المركزية في الأبنية العالمية، مجلة бетон и бетонные конструкции، Moscow 1992 عدد ١٢/.
٦. الكود الروسي لتصميم المنشآت: бетонные 1986.
٧. الكود الأمريكي لتصميم المنشآت: бетонные 2002.

$$\Delta_{i,F(i)} = \frac{\sqrt{\ell^2 + 4dS_u Q_{ip,c}\ell} - \ell}{4} \quad (20)$$

وبحساب البeton المضغوط وبالانتقال المتساوي للجداران:

$$\Delta_{i,n,F} = 2 \cdot \Delta_{i,n}(x) \left( 1 - \frac{X_n}{d} \right) \quad (21)$$

في المرحلة الحدية لنواة القص بوجود أسقف داخلية فإن الانتقال الأفقي للجداران والأسقف يجب أن تكون متساوية وعند ذلك فإن المقدار الدقيق للقوى المحورية الممتص من الأسقف والجوانز يحدد من هذه الشروط.

الجداران  $H_{w,I,p}$  من خلال

$$\Delta_{i,n,F} = \Delta_{i,F}(x) \left( 1 - \frac{X_n}{d} \right).$$

المنطقة المضغوطة يحدد من المساواة:

$$X_p = \frac{H_F + H_i(x)}{R_b t}$$

للأسقف الداخلية:

$$H_F = \frac{\Delta_{i,n,F}}{\ell_F} \cdot (EA_{rel})_F \quad (22)$$

وعزم الانعطاف النهائي والقوى الفاصلة الكلية في الجوانز تكون متساوية:

$$M_{i,p} = \frac{Q_u h \ell}{2} - (H_{ip} + H_{F,p}) e_{i,p} \quad (23)$$

$$Q_{i,p} = \frac{2M_{F,p}}{h l_{ip}} \quad (24)$$

$$e_{u,p} = d - S_u Q_{u,p} \ell - X_n \quad \text{من (23):}$$

ومن القيمة الجديدة لقوى التأثير في الجوانز نحدد القوى في الجداران والقوى الناظمة في الجدار (i) بساوي:

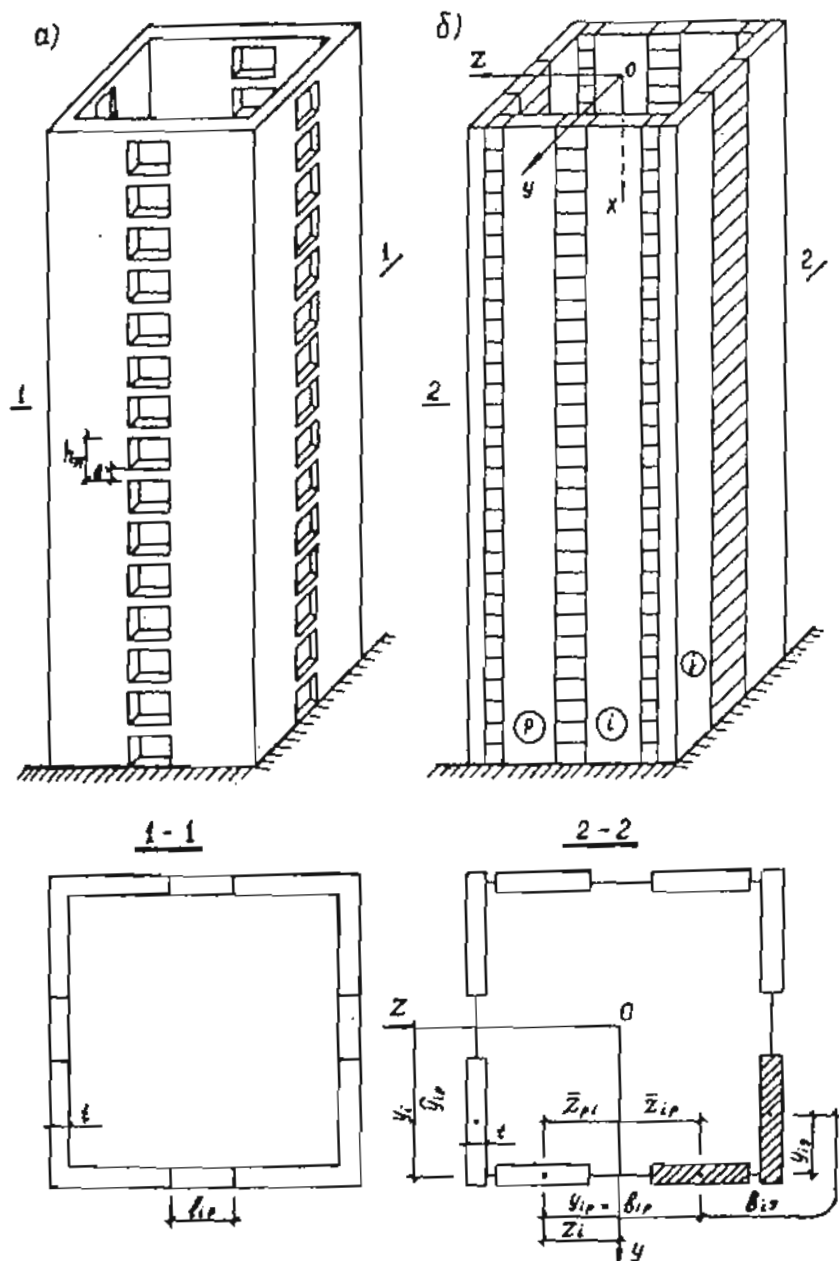
$$N_{i(x)} = \sum_{p=1}^k \int Q_{i,p}(x) dx \quad (25)$$

وهذه القوى تساوي إلى مجموع القوى لـ K انتقال لـ i جدار مهما كان عددها العناصر. والقوى الكلية المحورية تحدد في (i) جدار من المعادلات التالية:

$$R_{i(x)} = N_{i(x)} + P_{i(x)} \quad (26)$$

وعزم الانعطاف النهائي:

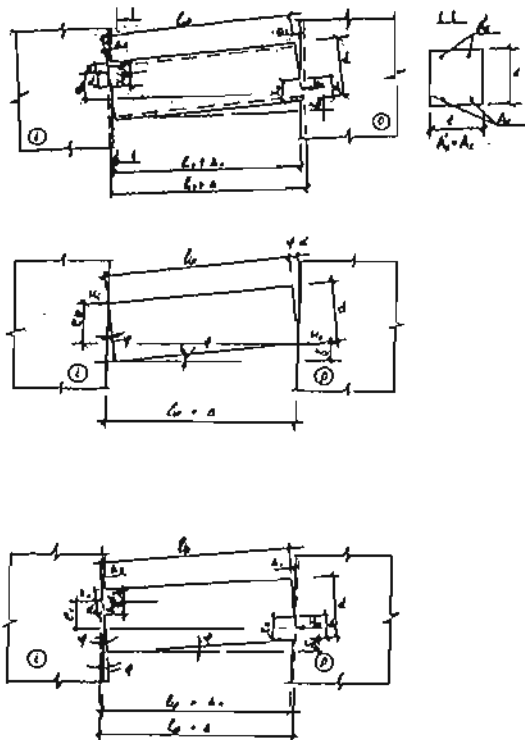
$$M_b = B_s \left( \frac{M' - \sum_{j=1}^n N_j Y_j}{B_s} + \frac{Z T}{B_{sp}} \right) \quad (27)$$



شكل (١) : حل نواة الفص بالاعتماد على النموذج الظفرى المستمر

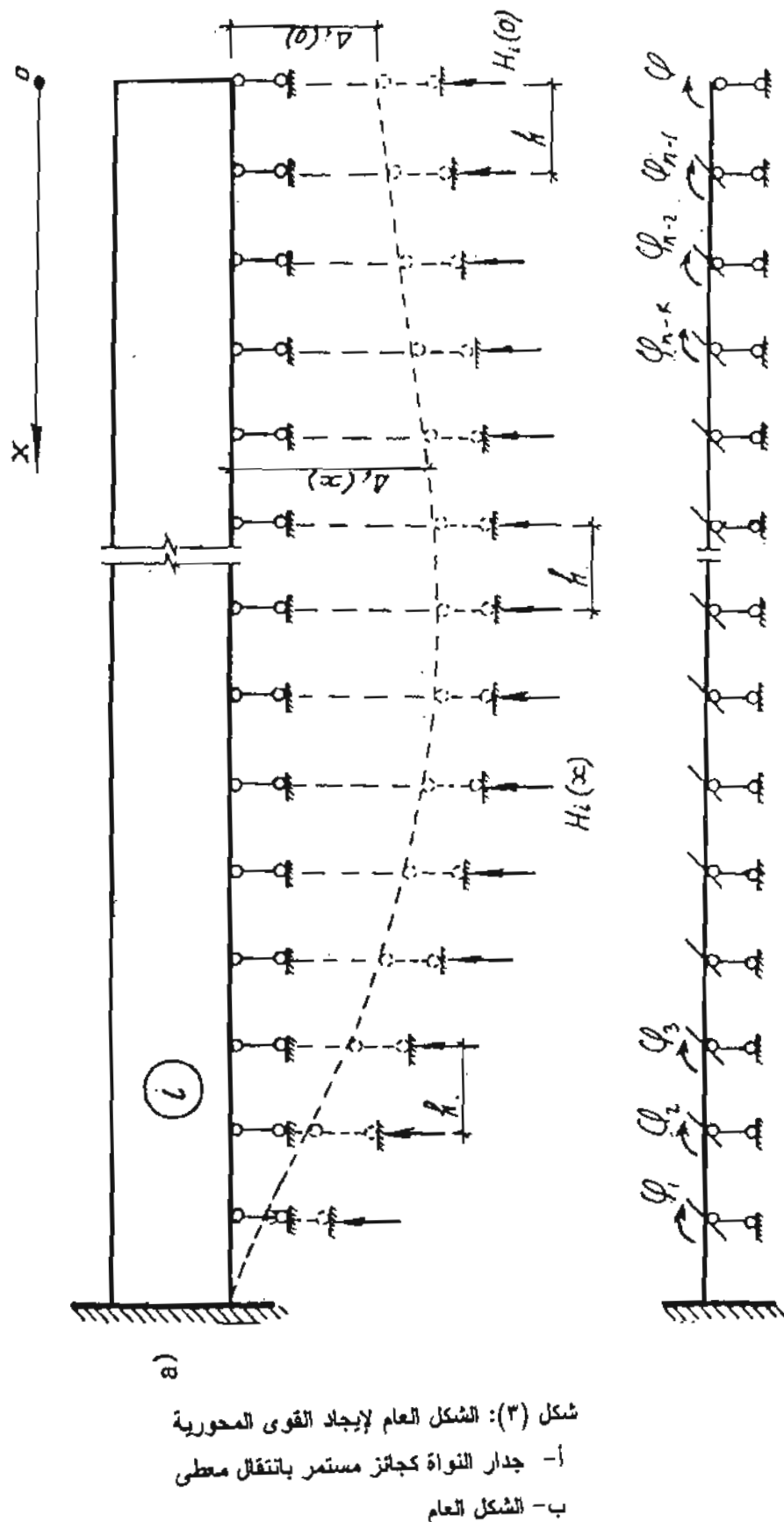
أ - نواة الفص الحقيقية

ب - شكل النموذج العام للحل

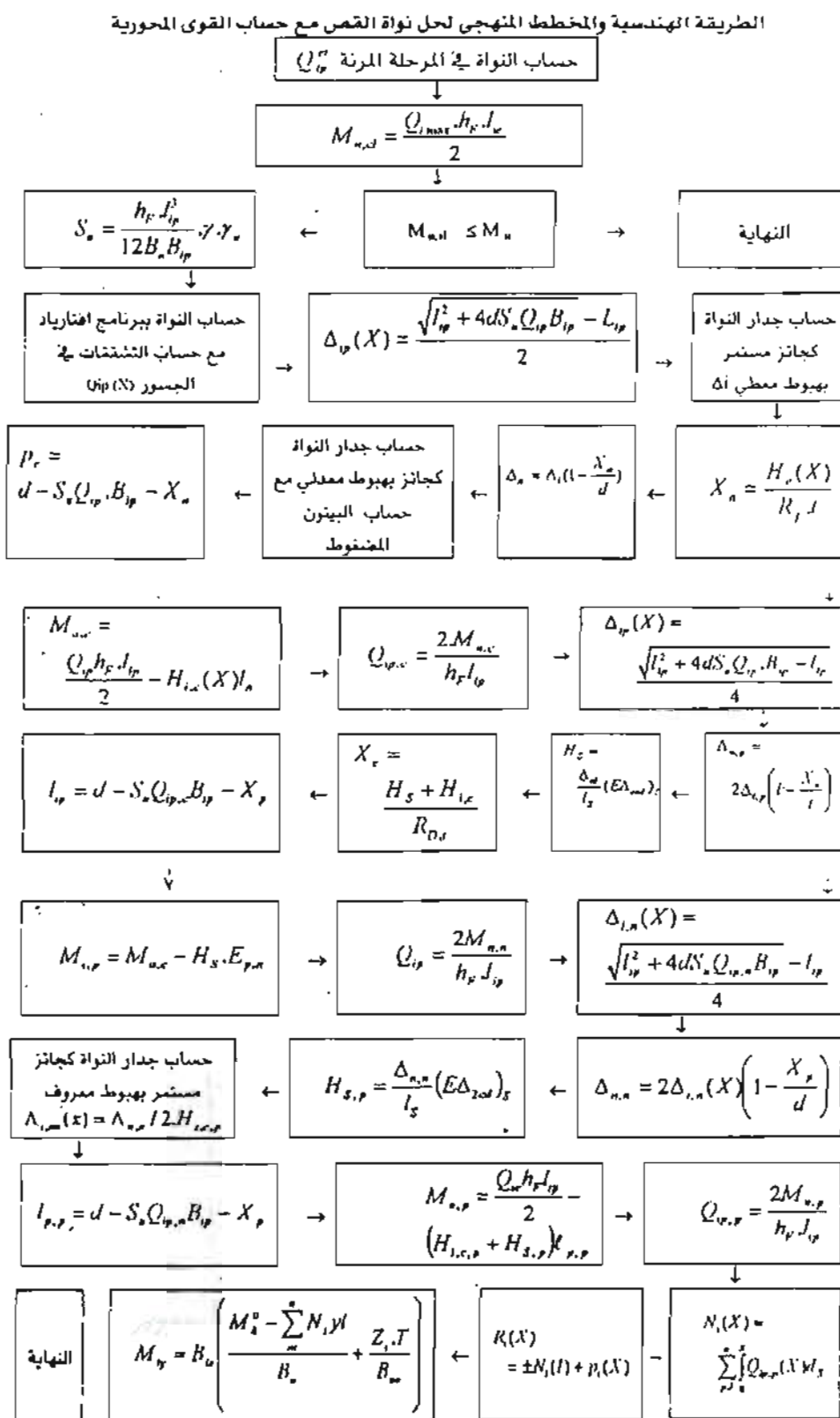


شكل التغيرات في الجسور

- بدون حساب البيتون المضغوط
- ب- مع حساب البيتون المضغوط



شكل (٣): الشكل العام لإيجاد القوى المحورية  
أ- جدار النواة كجائز مستمر ينتقل معطى  
ب- الشكل العام



الشكل (٤-٢) الطريقة الهندسية والمخطط المنهجي لحل نواة القص مع حساب القوى المغوية

## استقرار المنشآت البرجية تحت تأثير الرياح والزلزال

### STABILITY OF TOWER BUILDINGS UNDER THE EFFECT OF WIND AND SEISMIC FORCES

د/ عبد الرحمن عيسى - قسم الهندسة الإنشائية - كلية الهندسة المدنية - جامعة البعث - سوريا

#### Abstract:

This research includes an extensive investigation regarding the stability of tower structures with different cross sections and different forces acting along their heights. The main acting forces taken into consideration in this study are the wind and the seismic forces.

#### ملخص البحث:

أكثر المنشآت تعقيداً حساب المنشآت البرجية كأبراج الإذاعة والمداخن والأبنية العالية أثناء تعرضها للرياح والزلزال أو الحمولات الديناميكية . هذا البحث يتألف من : دراسة استقرار المنشآت ذات المقطع والحمولة المتغيرة وزعم العطالة المتغير على كامل ارتفاع المنشآة، إيجاد المخطط المنهجي لمصفوفة العناصر ذات المقطع والعطالة المتغيرين للعناصر المنعطفة والمعروضة للانعطاف تحت تأثير مختلف الحمولات الأفقية (كارثياح والزلزال).

$X$  مصفوفة التحويل التي تعتبر دالة  $X_i$  للقيم  $\varphi^0 M^0 Q^0$

B مصفوفة الصلابة للعناصر الموافقة للمعادلة (٤).

#### دراسة تطبيقية :

استقرار المنشآت البرجية المنعطفة ذات المقطع المتغير والعطالة المتغيرة تحت تأثير الحمولات الأفقية:

من أهم المشاكل وأكثرها تعقيداً حساب استقرار المنشآت البرجية والأبنية العالية عند تعرضها لتأثير الزلزال أو تعرضها لحمولات ديناميكية غالباً تطبق الطريقة التي تم فيها المقارنة بين عزم الوثاقة وزعم الانقلاب لهذه المنشآت والتي لا يمكن معرفة شدة الموجة بشكل دقيق ولا نستطيع حساب ومعرفة هذه التغيرات بشكل كامل تحت أساساتها والتغيرات الحاصلة فيها بين المنشآت وأساساتها بشكل دقيق (١). هذا البحث يقدم دراسة كاملة عن الاستقرار المرن للمنشآت ذات المقطع المتغير تدريجياً وأساساتها الخاضعة لحمولات شاقولية وأفقية بنفس الوقت مع

الرموز والمصطلحات :

g. تسارع الجاذبية الأرضية

h- ارتفاع الطابق (الارتفاع المتدرج) للكتل المختلفة .

N- محصلة القوى الناتجة عن رد فعل التربة والتي فيما مساوية لجميع الحمولات الشاقولية المؤثرة على المنشآت

e- لا مركزية القوة الناتجة عن رد فعل التربة

III- الكتل محسوبة من أسفل المنشآة

٤- عزم عطالة كتلة الأساس بالنسبة لمحور دورانه

٥- زاوية الدوران للأساس أو ميلاته

٦- عزم عطالة الأساس بالنسبة لقطه

I, ٧j- الانتقال الأفقي الناتج عن حركة الكتل بالهتزاز الأكثر شدة

٧- عامل يتعلق بالقوة الحدية .

EI- صلابة المنشآت

V- شعاع القوة لـ G وزن بالنسبة لمركز تقله

K<sub>٢٠</sub><sup>٠</sup> القيمة الحدية لشعاع القوى لمختلف قيم

٩ العزم الحدي لرد فعل الأساس

C<sub>١٠</sub>,C<sub>٢٠</sub> عاملان لمرونة ولدونة الأساس

بعاد الأساس a, b و b بعد الأساس في اتجاه تأثير العزم وعندما التي يكون:

$$Ne > \frac{1}{3} M \quad \text{و}$$

$$M(\theta) = N \frac{b}{2} - \frac{N}{3} \sqrt{\frac{2M}{\theta a K}} \quad (3)$$

$$M(\theta) = N \frac{b}{2} \quad \text{ولإيجاد المخطط الأولي}$$

نأخذ القيمة ما بين  $\theta$  و M مساوية لـ  $M \leq 0.6M_u^0$  بالمعادلة (٣) وبتعويضها في (٢) قيمة الانتقال  $y_{ij}(t)$  بـ (١) و  $Ne(t)$  بضربيها في (٣) فالمعادلة العامة تصبح [٣]:

$$\begin{aligned} &= \sum_{i=1}^n \frac{(S_1 + S_2 \rho_{iy} + \dots + S_n \rho_{in})(G_1 + G_2 \rho_{iy} + \dots + G_n \rho_{in})}{w_i(m_1 + m_2 \rho_{i1}^2 + \dots + m_n \rho_{in}^2)} \sin(w_i t) \\ &+ \frac{h}{g} \sum_{i=1}^n w_i \times \frac{(S_1 + S_2 \rho_{iy} + \dots + S_n \rho_{in})(G_1 + 2G_2 \rho_{iy} + \dots + nG_n \rho_{in})}{(m_1 + m_2 \rho_{i1}^2 + \dots + m_n \rho_{in}^2)} \sin(w_i t) \\ &I_0 \theta''_{(t)} - KI_0 \theta(t) = 0 \end{aligned}$$

وبحل هذه المعادلة تكون التغيرات:

$$\begin{aligned} \theta &= C_1 \cos\left(\sqrt{\frac{K I_0}{J_0}} t\right) + C_2 \sin\left(\sqrt{\frac{K I_0}{J_0}} t\right) + \\ &+ \frac{S}{J_0} \sum_{i=1}^n \left[ G_i \times \sum_{j=1}^n \frac{\rho_{ij} \alpha_j + \rho_{ij} \alpha_2 + \dots + \rho_{ij} \alpha_n}{w_i(m_1 + m_2 \rho_{i1}^2 + \dots + m_n \rho_{in}^2)} \times \frac{1 + \frac{h}{g} w_i^2}{K \frac{I_0}{J_0} - w_i^2} \sin(w_i t) \right] \end{aligned}$$

$$\alpha_1 = \frac{S_1}{S}, \alpha_2 = \frac{S_2}{S}, \dots, \alpha_n = \frac{S_n}{S} \quad \text{و}$$

لإيجاد سرعة دوران الأساس نستنتج:

$$\begin{aligned} \theta' &= -\sqrt{\frac{K I_0}{J_0}} C_1 \sin\left(\sqrt{\frac{K I_0}{J_0}} t\right) + \sqrt{\frac{K I_0}{J_0}} C_2 \cos\left(\sqrt{\frac{K I_0}{J_0}} t\right) \\ &+ \frac{S}{J_0} \sum_{i=1}^n \left[ G_i \sum_{j=1}^n \rho_{ij} \frac{\alpha_j + \alpha_2 \rho_{ij} + \dots + \alpha_n \rho_{ij}}{m_1 + m_2 \rho_{i1}^2 + \dots + m_n \rho_{in}^2} \times \frac{1 + \frac{h}{g} w_i^2}{K \frac{I_0}{J_0} - w_i^2} \cos(w_i t) \right] \end{aligned}$$

$$\begin{aligned} \text{عندما: } C_1 &= 0 \leftarrow t = 0 \quad \theta = 0 \\ y_i &= S \sum_{i=1}^n \frac{\rho_{ij} (\alpha_j + \alpha_2 \rho_{ij} + \dots + \alpha_n \rho_{ij})}{m_1 + m_2 \rho_{i1}^2 + \dots + m_n \rho_{in}^2} \cdot \cos(w_i t) = 0 \end{aligned}$$

يكون  $0 = \dot{\theta}$  وبالتالي  $C_2 = 0$   
ويكون الشكل النهائي للمعادلة بتعويض  $C_1, C_2$  في  
المعادلة ( $\theta$ ):

أساساتها (١). ولدراسة منشأة مؤلفة من n طابق وبارتفاع كلي H بـ  $m_i$  كتلة وزنها بـ  $G_i$  من  $i = 1$  إلى  $n = n$  وخاصة لتأثير الاهتزاز في حالة الاستقرار فإنها تهتز باهتزاز حر وانتقالاتها الأفقية والشنافولية لكتلها في كل طابق أو مستوى تحدد من العلاقة التالية (١):

$$\begin{aligned} y_j(t) &= p_{ji} y_{11} + p_{j2} y_{12} + \dots + p_{jn} y_{in} \\ &= \sum_{i=1}^n \frac{\rho_{ji} (S_1 + S_2 \rho_{2i} + \dots + S_n \rho_{ni})}{w_i (m_1 + m_2 \rho_{i1}^2 + \dots + m_n \rho_{in}^2)} \sin(w_i t) \end{aligned} \quad (1)$$

،  $S_1$  ،  $S_2$  ، عدد مرات الاهتزاز :  $S_n$  ..... ،

$$\omega_1 = i^{nR} \quad \text{و} \quad \rho_{ji} = \frac{y_{ji}}{y_{ii}}, \rho_{ii} = 1$$

زj: الانقل الأفقي الناتج عن حركة الكتل j بحالة الاهتزاز الأكثر شدة ، ولتكن  $\alpha$  ولإيجاد معادلة التوازن الديناميكي نحسب قوى التحامد بإيجاد عزوم الانعطاف لجميع هذه القوى المحددة من الشكل (١).

$$\sum_{i=1}^n G_i y_i(t) - \sum_{i=1}^n i h \frac{G_i}{g} y_i(t) - I_0 \ddot{\theta}(t) - Ne(t) = 0 \quad (2)$$

والعزم الناتج عن رد فعل التربة يعتمد خطياً على زاوية الدوران

$$Ne(t) = K I_0 \dot{\theta}(t)$$

وعند ازدياد زاوية دوران الأساس مع المنشأة فإن مخطط الإجهادات لرد فعل الأساس على المنشأة يتغير من شكل مستطيل إلى مثلثي وفي هذه الحالة فإن الأساس ينفصل عن جسم المنشأة بسبب اختلاف الصلابة بين المنشأة والأساس وعن تغير العلاقة بين العزوم لرد الفعل الناتج عن التربة. وزاوية الدوران للأساس وتصبح غير خطية، وكذلك الأمر بالنسبة للأساسات المستطيلة الشكل في مستويها ، فإذا كانت

تعرضها لتأثير الزلازل والرياح والمنشآت البرجية والأبنية العالية [5] هي الطريقة التالية. هذه الطريقة مقترنة لمعنى هذه المنشآت وبالاخص ذات المقطع المتغير تدريجياً والكتل والصلابة المتغيرة على كامل المنشأة تلك المنشآت تتغير كلتها بتغير ارتفاعها وفي كل مستوى من مستوياتها ولحساب الاهتزاز فإنه يمكن استخدام طريقة مصفوفة الصلابة لتلك القيم وعناصرها الأساسية [3]. وتمت دراسة الاهتزاز الخارجي المؤثر لهذه المنشآت وليكن  $n$  عنصر بمحارره المتغيرة في مستوياته المختلفة ويؤثر عليه اهتزاز خارجي كالزلازل أو الحمولات الديناميكية [6] وكانت الصلابة وكل هذه الأجسام متغيرة بالقانون التالي :

$$E_J I_{J_0} \left( \frac{X}{I_{J_0}} \right)^{n+2}, \quad m_j(x) = m_{J_0} \left( \frac{x}{I_{J_0}} \right)^n \quad (8)$$

7: بدون قيمة دليل القوة الجبرية .

$I_{J_0}$  : قيم الإحداثيات بالنسبة لمحور المينات متناسبة مع القيمة الأولية لهذا المقطع . وهي الأجزاء السفلية المتباينة بالأساس أو على قواعد صلبة أو مستندة بشكل مرن على ترب مرن وتحت انتقالاً ودوراناً نسبياً فإن قيم الانتقالات الأفقية وزاوية الدوران وعزوم الوثاقة وقوى القص تحدد من العلاقات التالية :

$$M_1 = -\varphi_1 C_2 \quad Q = -Y_1 C_1 \quad (9)$$

عاملان لمرونة ولدونة الأساسات ويمكن تحديد هذه القيم كالتالي :

1- إن المعادلة التقاضية لاهتزاز المقاطع المعرضة لانعطاف والمنعطفة تحت تأثير حمولات أفقية تكتب على الشكل التالي :

$$\frac{\partial^2}{\partial x^2} [EI(x) \cdot \frac{\partial^2 \omega}{\partial x^2}] + m(x) \frac{\partial^2 \omega}{\partial x^2} = q^{ext} \quad (10)$$

وبالاعتماد على قيمة الاهتزاز :

$$\omega = Y(x) e^{ipx} \quad (11)$$

يكون:

$$\theta = \frac{S}{I_0} \sum_{j=1}^n \left[ G_j \sum_{i=1}^n \frac{\rho_i \alpha_1 + \alpha_1 \rho_i + \dots + \alpha_n \rho_i}{w_i m_1 + m_2 \rho_i^2 + \dots + m_n \rho_i^2} \times \frac{1 + I \frac{h}{w_i}}{k_j I \frac{h}{w_i} - w_i^2} \sin(w_i t) \right] \quad (5)$$

وبتبديل المشتق الثاني للمعادلة ب (5) وباعتبار أن:

$$KI_\phi \theta_{(t)} = 0.6 M''$$

تكون قيمة الحمولة الناتجة عن الاهتزاز (قوة الاهتزاز)

$$S = 0.6 M \cdot \sum_{j=1}^n \left[ G_j \sum_{i=1}^n \frac{\rho_i \alpha_1 + \alpha_1 \rho_i + \dots + \alpha_n \rho_i}{w_i m_1 + m_2 \rho_i^2 + \dots + m_n \rho_i^2} \times \frac{1 + I \frac{h}{w_i}}{1 - w_i^2 \frac{I}{K I_\phi}} \sin(w_i t) \right] \quad (6)$$

وللحصول على القيمة الحدية SU وذلك بتحويل صلابة المنشأة وتخصيص قيمة القص مع اعتبار التابع (□) غير خطى ومن الضروري معرفة وتحديد القيمة الصغرى لمختلف أشكال وأنواع الاهتزاز في مختلف الاتجاهات وأخذ قيم صغيرة لهذه المتحولات وليكن  $A = \sin(w_i t)$  مادامت ثلاثة القيمة العظمى للانتقال ودوران المنشأة في حالة التوازن وحساب شكل الاهتزاز من I حتى m وتكتب المعادلة (6) مع الأخذ بعين الاعتبار القيم المنوطة عنها بالشكل التالي :

$$S_r = 0.6 M'' \sum_{j=1}^n \left[ \frac{m_j}{m_1} \sum_{i=1}^n \frac{\rho_i \alpha_1 + \alpha_1 \rho_i + \dots + \alpha_n \rho_i}{1 + \frac{m_2}{m_1} \rho_i^2 + \dots + \frac{m_n}{m_1} \rho_i^2} \times \frac{j + I h w_i}{1 - \frac{w_i^2 I}{K I_\phi}} \right] \quad (7)$$

وفي الحالة المنشأة بكلة واحدة تحدد من العلاقة التالية :

$$v = h \sqrt{\frac{G}{EI}}$$

$$S_{av} = 0.6 M'' \sqrt{\frac{1}{hg \frac{1}{1 - \frac{v}{igv}} - 1} \times \left[ 1 - \left( \frac{v}{igv} - \frac{v}{v_r} \right) \left( 1 + \frac{I_h g}{v_r^2 h} \right) \right]}$$

المخطط المنهجي لمصفوفة صلابة العناصر الرئيسية ذات المقطع المتغير تدريجياً والأساسات المتغيرة العطالة :

من أهم الطرق المستخدمة في حالة العناصر المعرضة للانعطاف وخصوصاً أبراج الإذاعة عند

لتدخل مصفوفة الصلبات لهذه القيم والمقادير والتي هي على الشكل التالي:

$$\vec{V} = \begin{bmatrix} y \\ \varphi \\ M \\ Q \end{bmatrix}, \quad \vec{X} = \begin{bmatrix} X_1 & X_2 & X_3 & X_4 \\ X_4^{v+1} & X_1^{v+1} & -X_4^{v+1} & X_3 \\ X_3^{v+1} & X_4^{v+2} & X_1^{v+1} & -X_2 \\ -X_4^{v+1} & X_1^{v+1} & X_4^{v+1} & X_1 \end{bmatrix}$$

$$\tilde{V}^* = \begin{bmatrix} \tilde{Y}_{(\beta)} \\ \tilde{\varphi}_{(\beta)} \\ \tilde{M}_{(\beta)} \\ \tilde{Q}_{(\beta)} \end{bmatrix}, \quad \vec{H} = \begin{bmatrix} Y_a^0 \\ \varphi_a^0 \\ M_a^0 \\ Q_a^0 \end{bmatrix}, \quad \vec{B} = \begin{bmatrix} \lambda_1 & 0 & 0 & 0 \\ 0 & \lambda_2 & 0 & 0 \\ 0 & 0 & \lambda_3 & 0 \\ 0 & 0 & 0 & \lambda_4 \end{bmatrix} \quad (17)$$

مصفوفة الصلبة العناصر الموافقة للمعادلة (14):

$$\lambda_1 = \beta^{-v}, \quad \lambda_2 = 2b^2 \beta^{-(v+1)}$$

$$\lambda_3 = \frac{EI\beta^{v+2}}{I_a^{v+2} 4(2b)^{2v}}, \quad \lambda_4 = \frac{EI_0\beta^{v+1}}{I_a^{v+2} 8(2b)^{2v-2}} \quad (18)$$

مصفوفة تحりض العناصر للحل الخاص للقيم متجانسة المساواة للمقادير  $m, \varphi^0, M^0, Q^0$  ، المحتواة فيهم ولحساب الحمولات المركزية على نهايات أجزاء المنشأ ذات كتلة وعزم عطالتها بالنسبة للمحور الأفقي  $I_m$  وبإدخال مصفوفة القصور الذاتي لكل العناصر الموجودة :

$$\vec{m} = \begin{bmatrix} 1 & 0 & 0 & 0 \\ 0 & 1 & 0 & 0 \\ 0 & \sigma & 1 & 0 \\ \rho & 0 & 0 & 1 \end{bmatrix} \quad (19)$$

$$\rho = mP^2, \quad \delta = I_m \rho^2$$

وللجزء السطحي وفي حالة الحمولة المركزية وجود المساعدة فالليونة بالنسبة لانتقالات العرضية والدوران تنتج من حساب (19-9) وتصبح مصفوفة العناصر

الحدية عن الشكل التالي :

$$\vec{K}_x = \begin{bmatrix} 0 & (C_1 - \rho)^{-1} \\ (C_2 - \delta)^{-1} & 0 \\ 1 & 0 \\ 0 & 1 \end{bmatrix} \quad (20)$$

$$\frac{d^2}{dx^2} [EI \frac{d^2 y}{dx^2}] - m(x) p^2 Y = q \quad (12)$$

وهذه المعادلة بعد تغير لحظي يمكن كتابتها بمساويتين وذلك قبل وصول قيم العناصر لحد السيلان.

$$L(u) \pm u = \mp \frac{F}{2} \quad (13)$$

وأن:

$$L = \frac{d^2}{d\beta^2} + \frac{1}{\beta} \cdot \frac{d}{d\beta} - \frac{v^2}{\beta^2}, \quad \beta = 2b\sqrt{x}$$

$$, \quad b^4 = \frac{m_0 P^2 \ell_a^2}{EI_0}$$

$$u = \beta^v \cdot y, \quad F = \frac{\ell_a^v (2b)^{2v} q}{m_0 P^2 \beta^v}$$

إن الانتقالات وقوى الوثبات الناتجة عن الانتقالات الجديدة تأخذ القيم التالية:

$$Y = \beta^{-v} \cdot Y_0, \quad \varphi = b^2 \frac{\varphi_0}{\beta^{v+1}}$$

$$M = \frac{EI_0 \beta^{v+2}}{\ell_a^{v+2} 4(2b)^{2v}} \cdot M^0,$$

$$Q = \frac{EI_0 \beta^{v+1}}{\ell_a^{v+2} 8(2b)^{2v-2}} \quad (14)$$

$$Q^0 = \left( \frac{d}{d\beta} - \frac{v}{\beta} \right) L(U),$$

$$M^0 = \left[ L - \frac{2(v+1)}{\beta} \left( \frac{d}{d\beta} - \frac{v}{\beta} \right) \right] \quad (15)$$

و المنظومة تبدي خواص المصفوفة الأحادية لعناصر المعادلة وصول قيم العناصر لحدود السيلان وذلك عندما تكون  $\beta = a$  بالنسبة لجميع العناصر تكتب المعادلة على الشكل التالي:

$$X_{24} = \pi^2 / 4 - Y_K(\beta) I_K(n) + I_K(\beta) Y_K(n) - 2\pi^{-1} [K_K(\beta) I_K(n) - I_K(\beta) K_K(n)] \quad (16)$$

حيث أن القيم :

$X_4$  : تقبل الرمز أو الدليل  $v = K$

$X_2$  : تقبل الرمز أو الدليل  $2 = v + K$  في حالة استخدام المنظومة الأسطوانية المستقلة.

ومصفوفة الصلابة النهائية يعبر عنها من خلال الجزء الأول المقسم لـ  $n$  قسم تأخذ الشكل التالي :

$$\begin{aligned} \overline{H}_n &= \overline{B}_n(\alpha) \overline{m}_{n-1} \overline{B}_{n-1}(\varepsilon) < \\ \overline{X}_{n-1}(\varepsilon) \left( \overline{B}_{n-1}^{-1}(\alpha) \overline{m}_{n-2} \overline{B}_{n-2}(\varepsilon) \right) &< \\ \overrightarrow{B}_1(\alpha) \overline{m}_1 \overline{B}(\varepsilon) \overrightarrow{X}_1(\varepsilon) \overline{H}_K + \tilde{V}_1(\varepsilon) &+ \tilde{V}_2(\varepsilon) + \tilde{V}_3(\varepsilon) > \\ (26) \end{aligned}$$

من الشرط النهائي للمنشأة العلوي المؤلفة من (n) جزء نحدد قيمة المقادير للجزء الأول بالاعتماد على (26) وبقية الأجزاء الأخرى ويمكن تحليل المساواة بالنسبة للجزء الأول التي يمكن الحصول عليها من مساواة  $\varepsilon_n^0 = \beta$  ومن طبيعة الارتباط للعناصر بعضها بالآخر.

$$\begin{bmatrix} Y_n^0(\varepsilon) \\ \varphi_n^0(\varepsilon) \\ 0 \\ 0 \end{bmatrix} = \overrightarrow{X}_n(\varepsilon) \cdot \overrightarrow{H}_n + \overrightarrow{V}_n(\varepsilon) \quad (27)$$

وبحساب العناصر الأساسية للاهتزاز ولالجزء الأسفل يمكننا كتابة ما سبق بالشكل التالي:

$$Y_1(\beta) = [1 \ 0 \ 0 \ 0] \overrightarrow{B}_1(\beta) \left[ \overrightarrow{X}_1(\beta) \cdot \overrightarrow{H}_K + \tilde{V}_1(\beta) \right] =$$

$$\begin{aligned} \beta_1^{-1} (M_{1\alpha}^0 [DX_2(\alpha\beta) + X_3(\alpha\beta)] \\ + Q_{1\alpha}^0 [\sigma_{x1}(\alpha\beta) + X_4(\alpha\beta)] \\ + \frac{\alpha_1^{2\nu}}{m_0 p^2} \int \frac{q X_4}{\zeta} (\beta_1 \zeta) d\zeta \end{aligned}$$

وبحساب التخادم وإدخال عامل الترافق المرن للجسم بكمائه:

$$\tilde{E} = E(1+iy)$$

ومنه نحصل على المعادلة [28] التالية:

$$\beta_j = \beta_{0j} \left( 1 - \frac{\nu_j}{8} \right) \left( 1 + j \frac{\nu_j}{4} \right) \quad (28)$$

مثال محظوظ:

لتكن المنشأة البرجية ذات الارتفاع  $H=180m$  والمولفة من ثلاثة كتل أوزانها:

$$G_1=270t \quad G_2=150t \quad G_3=340t$$

ومما سبق وبقبول الانتقالات والقوى لقطع عشوائي موثوق و القيم المناسبة الأولية لهذا القطع تأخذ المصفوفة الشكل التالي :

$$\vec{V}_1(\beta) = \vec{B}_1(\beta) \left\{ \vec{X}_1(\beta) \vec{H}_K + \tilde{V}_1(\beta) \right\} \quad (21)$$

ومن النهايات في القطع السفلي للجزء الأول  $\vec{X}_1(\alpha) = \alpha \vec{B}_1(\alpha)$  وبتعويضها في المصفوفة

فإن قيمة المصفوفة تكون متساوية للواحد وقيمة  $\tilde{V}_1(\alpha) = 0$  وتصبح مصفوفة القيم لهذا القطع كالتالي

$$\vec{V}_{(ik)}(\alpha) = \vec{K}_k \vec{V}_1(\alpha) = \vec{K}_k \vec{B}_1(\alpha) \vec{H} \quad (22)$$

$$\begin{aligned} &= \begin{bmatrix} 0 & (C_1 - \rho)^{-1} & 0 & 0 \\ (C_2 - \delta)^{-1} & 0 & 0 & 0 \\ 1 & 0 & 0 & 0 \\ 1 & 0 & 0 & 0 \end{bmatrix} \times \begin{bmatrix} \lambda_1 & 0 & 0 & 0 \\ 0 & \lambda_2 & 0 & 0 \\ 0 & 0 & \lambda_3 & 0 \\ 0 & 0 & 0 & \lambda_4 \end{bmatrix} \times \begin{bmatrix} Y_{a1}^0 \\ \varphi_{a1}^0 \\ M_{a1}^0 \\ Q_{a1}^0 \end{bmatrix} \\ &= B(\alpha) \begin{bmatrix} \delta & Q_{a1}^0 \\ D & M_{a1}^0 \\ M_{a1}^0 \\ Q_{a1}^0 \end{bmatrix} \end{aligned}$$

$$D = \frac{\lambda_3}{\lambda_2} (C_2 - \delta)^{-1},$$

$$\sigma = \frac{\lambda_4}{\lambda_1} (C_1 - \rho)^{-1} \quad (23)$$

وبالتالي مصفوفة المقادير الأساسية (الأولية) في الشروط الحرية عندما  $\alpha_1 = \beta_1$  تأخذ الشكل التالي:

$$\vec{H}_K = \begin{bmatrix} \sigma \cdot Q_{ia}^0 \\ D M_{ia}^0 \\ M_{ia}^0 \\ Q_{ia}^0 \end{bmatrix} \quad (24)$$

ومن النهايات للجزأين الأول والثاني تكون  $\alpha_1 = \nu_1$ ,  $\beta_1 = \nu_2$

للجزئين فتصبح المعادلة بالشكل التالي:

$$\tilde{V}_2(\alpha) = \vec{B}_2(\alpha) \vec{H}_2 = \vec{m}_1 \cdot \vec{B}_1 \cdot (S) \left[ \vec{X}_1(\varepsilon) \cdot \vec{H}_K + \tilde{V}_1(\varepsilon) \right]$$

وبذلك فإن مصفوفة الصلابة للأجزاء الرئيسية للجزء الثاني يمكن التعبير عنها بدالة الجزء الأول:

$$\vec{H}_2 = \vec{B}_2(\alpha) \vec{m}_1 \cdot \vec{B}_1 \cdot (S) \left[ \vec{X}_1(\varepsilon) \cdot \vec{H}_K + \tilde{V}_1(\varepsilon) \right]$$

$$M_1 = -\phi(C_{11} - I_{m1}P^2 + iC_{12}) \quad (29)$$

$$Q_1 = -Y(C_{21} - m_{m1}P^2 + iC_{22})$$

و أن  $C_{11}, C_{12}, C_{21}, C_{22}$  عوامل مرونة الأساسات دليلاً لتردد الاهتزاز وشكله ونم الشكل الدائري للأساسات مطابقة لمعادلة (١٢) وثوابت العامة للمنشأ:  $C_{11}=0.9 \cdot 10^5 \text{ T/m}$ ,  $C_{12}=0.2 \cdot 10^5 \text{ T/m}$ ,  $C_{21}=0.2 \cdot 10^8 \text{ T/m}$ ,  $C_{22}=0.1 \cdot 10^8 \text{ T/m}$  وإن انتقال البرج وخواصه الفيزيائية وقيمة الجبرية الحسابية موضحة بالشكل (٤).

المقررات والتوصيات:

١. نوصي باستخدام هذه الطريقة في العمليات الحسابية للمنشآت البرجية.

٢. إن هذه الطريقة المستبطة في الحسابات تقييد في حالة الأبراج المتغيرة الكتل والمتحركة العطلة في مستوياتها المختلفة.

٣. يمكن استخدام هذه الطريقة في الترب المرنة والترب الصلبة في حالة الحسابات للأبراج البيوتانية أو المعدنية.

المراجع :

١. كاسيليف. ف.ا- حساب الإنشاءات المتقدمة لانفيا ١٩٦٩

٢. ليوفين با. ب - استقرار الجدران الصلبة على الأساسات المرنة والمطاطية مركز البحث العلمية الإنسانية موسكو ١٩٥٠

٣. راجستين أ- ر توازن الجدران المرنة موسكو ١٩٥٥

٤. الفانوفيتش ف - ١- مصفوفة الانتقال للجدران المعرضة لقوى ديناميكية ومرونة الشكل موسكو (معهد الطرق) ١٩٦٩

٥. كورينيف ب- غ - م اهتزاز العناصر المنعطفة متغيرة المقطع مركز البحث العلمية الإنسانية موسكو ١٩٥٧

٦. كورينيف ب - غ ورازنيسيوف ل - م اهتزاز المنشأة متغيرة المقطع في الظروف الاهتزازية المستخدمة. مجلة ميكانيك الإنشاءات وحساب المشاريع عدد ١٩٩٨/٢

٧. تورسيكي ف - أ طريقة المصفوفات لحساب اهتزاز المنشآت معهد موسكو للطرق ١٩٦٠

٨. الموسوعة العلمية الرياضية موسكو ١٩٤٨

٩. عيسى عبد الرحمن جامعة البعث حمص سوريا.

ارتفاع كل كتلة من هذه الكتل  $h=60\text{m}$  وزعوم

عطالتها على التوالي:

$$I_1=10\text{M}^4 \quad I_2=3.2\text{M}^4 \quad I_3=1.1\text{M}^4$$

و عوامل اهتزازها التقريرية :

$$\alpha_1=1 \quad \alpha_2=0.9 \quad \alpha_3=2.0$$

والأساس مربع الشكل ببعاد  $B=25\text{m}$  وزن كتلته

$$G_0=3750\text{t} \quad \text{وعزم عطلة كتلة الأساس } I_0=40000\text{m}^4$$

و عامل الضغط المرن  $K=3000\text{T/m}^2$

الحل : في الأشكال ذات الاهتزاز الحر يمكن اختيار أي طريقة للحل ولحساب مرونة الأساسات ونظرًا

ل الكبير الحول وحجمه هنا نضع النتيجة النهائية لاهتزاز الذاتي للمنشأة والعوامل المتعلقة به وخواص أشكال

هذا الاهتزاز شكل (٢) يوضح ذلك :

$$\omega_1=1.209 \quad \rho_{21}=4.15 \quad \rho_{31}=10.2$$

$$\omega_2=8.9 \quad \rho_{22}=2.25 \quad \rho_{32}=-0.52$$

$$\omega_3=26.2 \quad \rho_{23}=-8.48 \quad \rho_{33}=1.92$$

محصلة القوى الناتجة لرد فعل الأساس :

$$N=G_1+G_2+G_3+G_4=270+150+340+3750=45107\text{ton}$$

العزم الحدي لرد فعل الأساس :

$$M_u^0=N \frac{B}{2}=\frac{4510 \times 25}{2}=56400 \text{ Tm}$$

ومن المعادلة (٧) تحدد القيمة الحدية لاهتزاز الحمولة وتكون القيمة التقريرية الأولية .

$$\frac{m_2}{m_1}=\frac{150}{270}=0.556, \quad \frac{m_3}{m_1}=\frac{340}{270}=1.2$$

وبحساب الجزء الأول منه نحصل :

$$S_{u1}=57 \text{ t.s}$$

$$S_{u2}=341 \text{ t.s}$$

$$S_{u3}=33 \text{ t.s}$$

والقيمة الحدية لاهتزاز المنشأة  $S_{u3}=33 \text{ Ts}$   
وكتبيق عملي نأخذ شكل (٤) للبرج التالي والذي فيه  
الجزء السفلي  $v=2$  من البيتون المسلح وجزئه العلوي  
على شكل عمود منفذ من المعدن وفيه  $v=1$  ومتغير  
المقطع وصلابة المنشأة وكتلته الطولية للأجزاء السفلية  
مطابقة الأول والثاني .

$$E_1^0 I_{10}=3.7510^7 \text{ Tm}^2$$

$$E_2^0 I_{20}=1.0 \times 10^8 \text{ Tm}^2$$

وكتله:

$$m_{10}=0.15 \frac{T \cdot sec^{-2}}{m^2}, \quad m_{20}=0.003 \left( \frac{T \cdot sec^{-2}}{m^2} \right)$$

$$p=2.1 \text{ 1/sec} \quad v_1=0.1 \quad v_2=0.05 \quad q=0.003 \text{ T/m}$$

ولقد تم اختبار نوعية الأساس بخواصه المختلفة (عطلة مرونة) ، وبهذا تكون قيم الانقلالات الأفقية المنشأة متعلقة بالقوى العرضية وزاوية الدوران ومع عزم عطلة المنشأة التي تحدد بالعلاقات التالية:

